

Universidade de São Paulo  
Escola de Engenharia de São Carlos  
Departamento de Engenharia Elétrica e Computação

# **Controle de um pêndulo invertido**

SEL0382 - CONTROLE ROBUSTO

**Aluno:** Raphael Luiz Vicente Fortulan

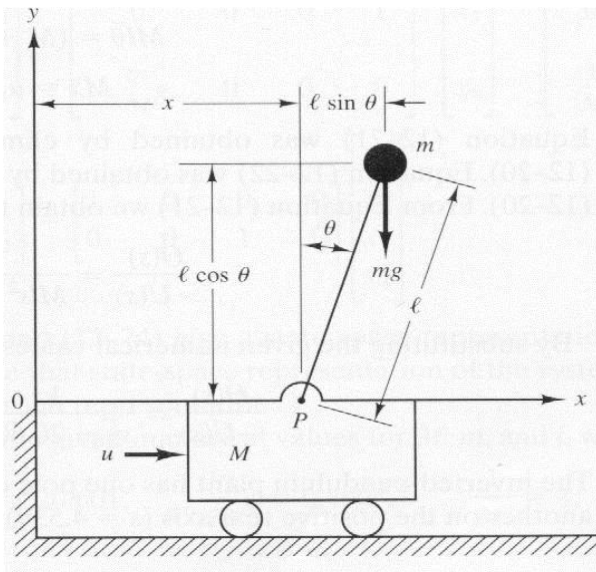
**Professor:** *Vilma Alves de Oliveira*

## Sumário

<b>Pêndulo invertido</b> .....	3
Equacionamento.....	3
Linearização .....	4
Resposta do sistema linear vs Resposta do sistema não linear para um degrau na entrada ....	5
Realimentação .....	6
LQR.....	6
Escolha dos polos de malha fechada .....	6
Simulações .....	7
Códigos de Matlab desenvolvidos.....	17
EDO's não lineares com realimentação .....	17
EDO's não lineares sem realimentação.....	17
Código para comparar o sistema linear com o não linear .....	17
Código para o sistema realimentado e cálculo das matrizes K's.....	18

# Pêndulo invertido

## Equacionamento



Pelas leis de Newton são obtidas as equações abaixo:

1.  $\sum x = M \frac{d^2}{dt^2} x + m \frac{d^2}{dt^2} (x + l \sin(\theta)) = u$
2.  $\sum y = m \frac{d^2}{dt^2} (l \cos(\theta)) = mg$
3.  $\sum M = (m \frac{d^2}{dt^2} (l \cos(\theta))) l \sin(\theta) + l \cos(\theta) (m \frac{d^2}{dt^2} (x + l \sin(\theta))) = l \sin(\theta) mg$

São aplicadas as relações:

- $\frac{d^2}{dt^2} (\cos(\theta)) = -\cos(\theta) \dot{\theta}^2 - \sin(\theta) \ddot{\theta}$
- $\frac{d^2}{dt^2} (\sin(\theta)) = -\sin(\theta) \dot{\theta}^2 + \cos(\theta) \ddot{\theta}$

E o sistema é simplificado para o conjunto de equações abaixo:

1.  $(M + m) \ddot{x} - ml \sin(\theta) \dot{\theta}^2 + ml \cos(\theta) \ddot{\theta} = u$
2.  $m \ddot{x} \cos(\theta) + ml \ddot{\theta} = mg \sin(\theta)$

Para acertar a notação das equações é feito o seguinte procedimento:

Aplicando  $m\ddot{x}\cos(\theta) + ml\ddot{\theta} = mg\sin(\theta)$  em  $(M + m)\ddot{x} - ml\sin(\theta)\dot{\theta}^2 + ml\cos(\theta)\ddot{\theta} = u$  é encontrado  $(M+m-m\cos^2(\theta))\ddot{x} = u+m\sin(\theta)\dot{\theta}^2-mg\sin(\theta)\cos(\theta)$ .

Voltando para a equação  $m\ddot{x}\cos(\theta) + ml\ddot{\theta} = mg\sin(\theta)$  é encontrado que  $\ddot{x} = \frac{g\sin(\theta)-l\ddot{\theta}}{\cos(\theta)}$ . Utilizando esse resultado em  $(M + m)\ddot{x} - ml\sin(\theta)\dot{\theta}^2 + ml\cos(\theta)\ddot{\theta} = u$  é obtida a equação  $(ml\cos^2(\theta) - (M + m)l)\ddot{\theta} = u\cos(\theta) - (M + m)g\sin(\theta) + ml\cos(\theta)\sin(\theta)\dot{\theta}^2$

As equações finais são:

$$1. \ddot{x} = \frac{u+m\sin(\theta)\dot{\theta}^2-mg\sin(\theta)\cos(\theta)}{(M+m-m\cos^2(\theta))}$$

$$2. \ddot{\theta} = \frac{u\cos(\theta)-(M+m)g\sin(\theta)+ml\cos(\theta)\sin(\theta)\dot{\theta}^2}{(ml\cos^2(\theta)-(M+m)l)}$$

Matricialmente:

$$\frac{d}{dt} \begin{bmatrix} \theta \\ \dot{\theta} \\ x \\ \dot{x} \end{bmatrix} = \begin{bmatrix} \dot{\theta} \\ \frac{u\cos(\theta)-(M+m)g\sin(\theta)+ml\cos(\theta)\sin(\theta)\dot{\theta}^2}{(ml\cos^2(\theta)-(M+m)l)} \\ \dot{x} \\ \frac{u+m\sin(\theta)\dot{\theta}^2-mg\sin(\theta)\cos(\theta)}{(M+m-m\cos^2(\theta))} \end{bmatrix}$$

## Linearização

É desejado linearizar o sistema em um ponto de equilíbrio. Analisando as equações diferenciais, verifica-se que pontos de equilíbrio são dependentes do valor de  $\theta$ . Para valores  $0, \pi, 2\pi, \dots$  o

seno zera e as variáveis zeram também. Assim é escolhido o ponto de equilíbrio  $\begin{bmatrix} 0 \\ 0 \\ 0 \\ 0 \end{bmatrix}$  (instável).

Calcula-se a Jacobiana do espaço de estado:

$$\begin{bmatrix} \frac{\partial f_1}{\partial \theta} & \frac{\partial f_1}{\partial \dot{\theta}} & \frac{\partial f_1}{\partial x} & \frac{\partial f_1}{\partial \dot{x}} \\ \frac{\partial f_2}{\partial \theta} & \frac{\partial f_2}{\partial \dot{\theta}} & \frac{\partial f_2}{\partial x} & \frac{\partial f_2}{\partial \dot{x}} \\ \frac{\partial f_3}{\partial \theta} & \frac{\partial f_3}{\partial \dot{\theta}} & \frac{\partial f_3}{\partial x} & \frac{\partial f_3}{\partial \dot{x}} \\ \frac{\partial f_4}{\partial \theta} & \frac{\partial f_4}{\partial \dot{\theta}} & \frac{\partial f_4}{\partial x} & \frac{\partial f_4}{\partial \dot{x}} \end{bmatrix}_{p.e.} * z + \begin{bmatrix} \frac{\partial f_1}{\partial u} \\ \frac{\partial f_2}{\partial u} \\ \frac{\partial f_3}{\partial u} \\ \frac{\partial f_4}{\partial u} \end{bmatrix}_{p.e.} * u = \begin{bmatrix} 0 & 1 & 0 & 0 \\ \frac{(M+m)g}{Ml} & 0 & 0 & 0 \\ 0 & 0 & 0 & 1 \\ \frac{-mg}{M} & 0 & 0 & 0 \end{bmatrix} * z + \begin{bmatrix} 0 \\ \frac{-1}{Ml} \\ 0 \\ \frac{1}{M} \end{bmatrix} * u.$$

Utilizando que  $M=2 \text{ kg}, l=0,5 \text{ m}, m=0,1 \text{ kg}$  e  $g=9,81 \text{ m/s}^2$ :

$$A = \begin{bmatrix} 0 & 1 & 0 & 0 \\ 20.601 & 0 & 0 & 0 \\ 0 & 0 & 0 & 1 \\ -0.4905 & 0 & 0 & 0 \end{bmatrix}$$

$$B = \begin{bmatrix} 0 \\ -1 \\ 0 \\ 0.5 \end{bmatrix}$$

### Resposta do sistema linear vs Resposta do sistema não linear para um degrau na entrada

Aplicando um degrau unitário sob a entrada do sistema linearizado e do não linear, são verificadas as respostas para o ângulo e a posição do carrinho.

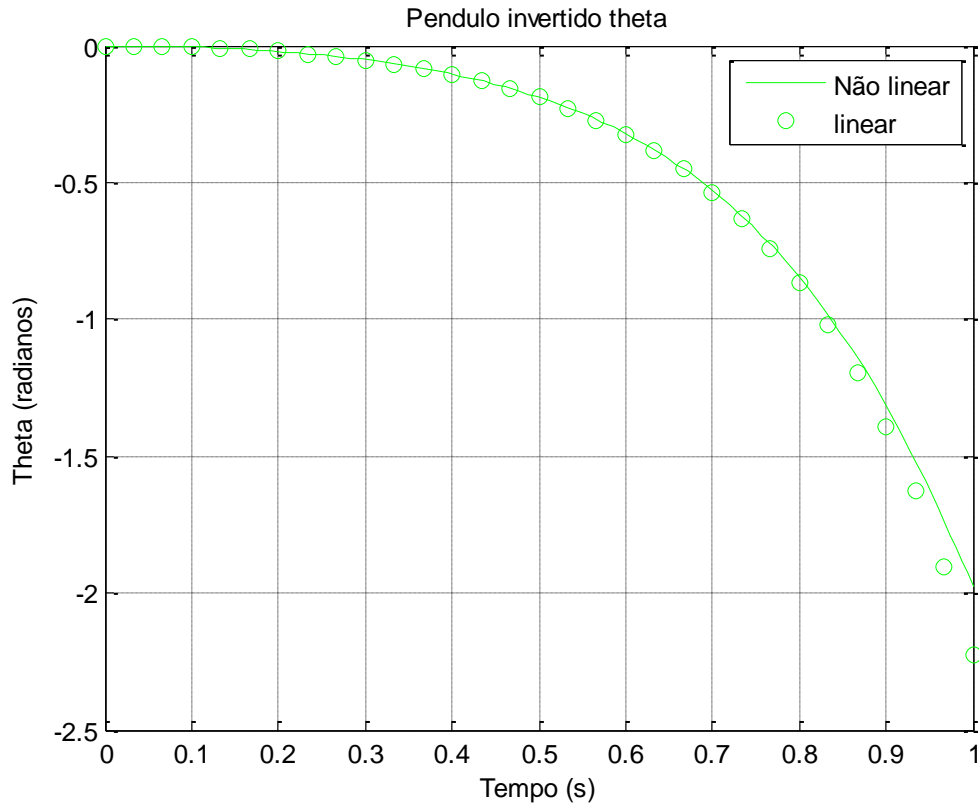


Figura 1 Ângulo vs tempo Linear e Não Linear

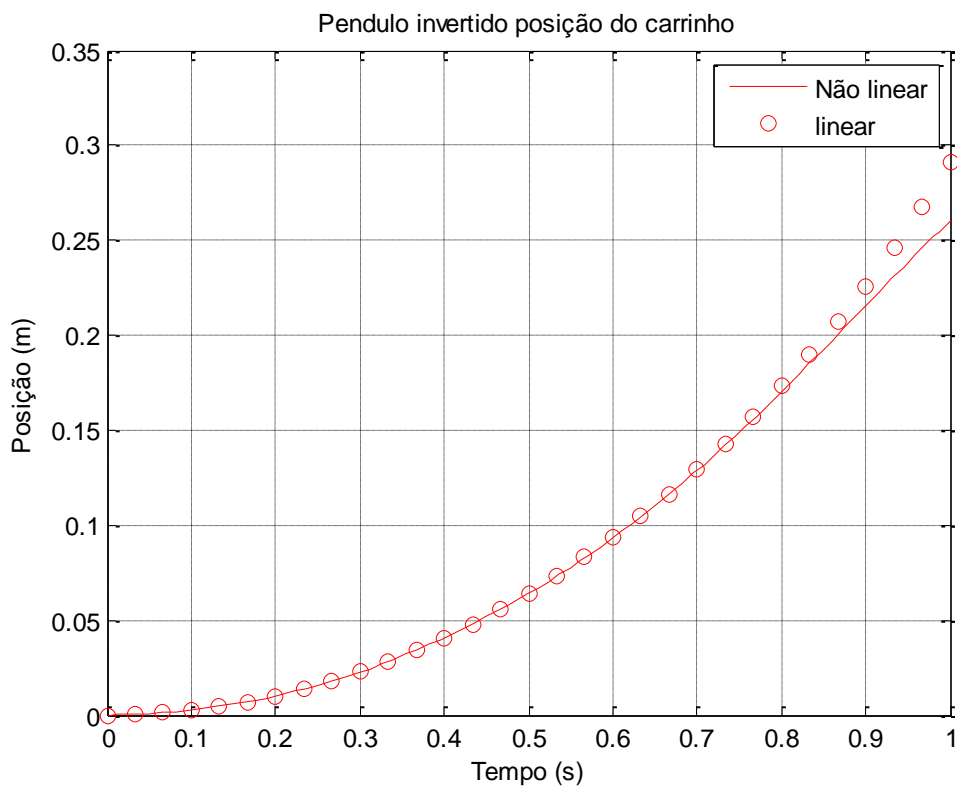


Figura 2 Posição vs tempo Linear e Não Linear

É observado que o sistema linear representa com eficiência o sistema não linear.

## Realimentação

É desejado realimentar o sistema. Antes, porém, deve-se verificar se o sistema é controlável. Sabe-se que o sistema linear é controlável se o posto da matriz de controlabilidade for igual à dimensão da matriz A. Então:

$$Cont = [B \ AB \ A^2B \ \dots \ A^{n-1}B] = \begin{bmatrix} 0 & -1 & 0 & -20.16 \\ -1 & 0 & -20.6010 & 0 \\ 0 & 0.5 & 0 & 0.4905 \\ 0.5 & 0 & 0 & 0.4905 \end{bmatrix}.$$

O posto dessa matriz pode ser obtido pela redução de Gauss-Jordan na matriz *Cont*. A matriz reduzida é :

$$Cont_{reduzida} = \begin{bmatrix} 1 & 0 & 0 & 0 \\ 0 & 1 & 0 & 0 \\ 0 & 0 & 1 & 0 \\ 0 & 0 & 0 & 1 \end{bmatrix}.$$

Assim a matriz possui posto igual a 4 e o sistema é controlável.

Para a realimentação de estados serão utilizadas duas técnicas : LQR e escolha dos polos de malha fechada.

### LQR

É necessário encontrar a matriz K de maneira a minimizar a função de custo quadrático

$$J = \int_0^{\infty} (x^* Q x + u^* R u) dt.$$

Para resolver esse problema foi utilizado o comando *lqr do\_Matlab* e as seguintes matrizes de peso:

$$Q_1 = \begin{bmatrix} 100 & 0 & 0 & 0 \\ 0 & 1 & 0 & 0 \\ 0 & 0 & 1 & 0 \\ 0 & 0 & 0 & 1 \end{bmatrix}, R_1 = 100 \text{ e } Q_2 = \begin{bmatrix} 0.1 & 0 & 0 & 0 \\ 0 & 1 & 0 & 0 \\ 0 & 0 & 1 & 0 \\ 0 & 0 & 0 & 1 \end{bmatrix}, R_2 = 0.1$$

As matrizes utilizadas na realimentação encontradas foram:

$$K_1 = [-44.15 \quad -9.7431 \quad -0.1 \quad -0.7002] \\ K_2 = [-66.086 \quad -15.0.313 \quad -3.1623 \quad -6.2709]$$

### Escolha dos polos de malha fechada

É escolhida a matriz K de forma que os autovalores de A-B\*K fiquem iguais aos polos escolhidos de malha fechada.

Por ser um problema de difícil resolução manual foi utilizado o algoritmo numérico *place* do Matlab.

Os polos de malha fechada escolhidos foram -10,-2,-1+1.5j e -1-1.5j. A matriz utilizada na realimentação encontrada foi:

$$K_3 = [-71.1639 \quad -18.0265 \quad -6.6259 \quad -8.0530]$$

# Simulações

O sistema não linear foi realimentado com os controladores baseados no modelo linear, calculados acima. Para verificar a eficiência de cada um, o sistema foi simulado para seis

condições iniciais  $\begin{bmatrix} \theta \\ 0 \\ 0 \end{bmatrix}$  com  $\theta = -60, -15, 60, 45, 30$  e  $15$  graus), e nenhuma entrada.

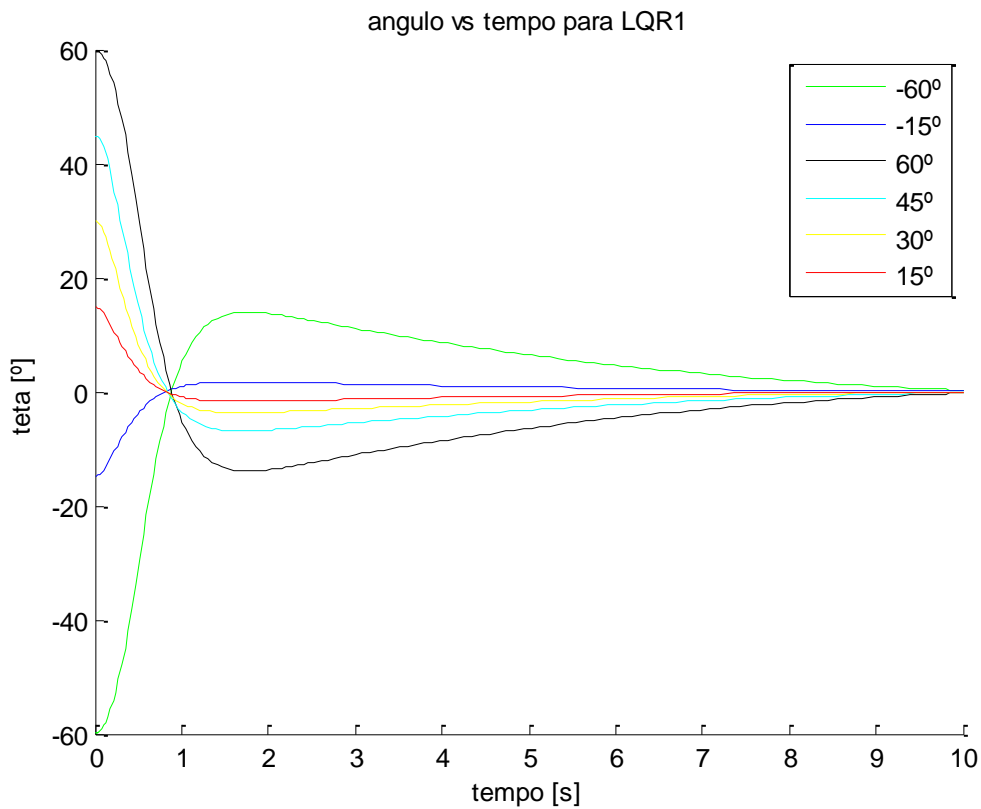


Figura 3- Ângulo vs tempo para LQR1

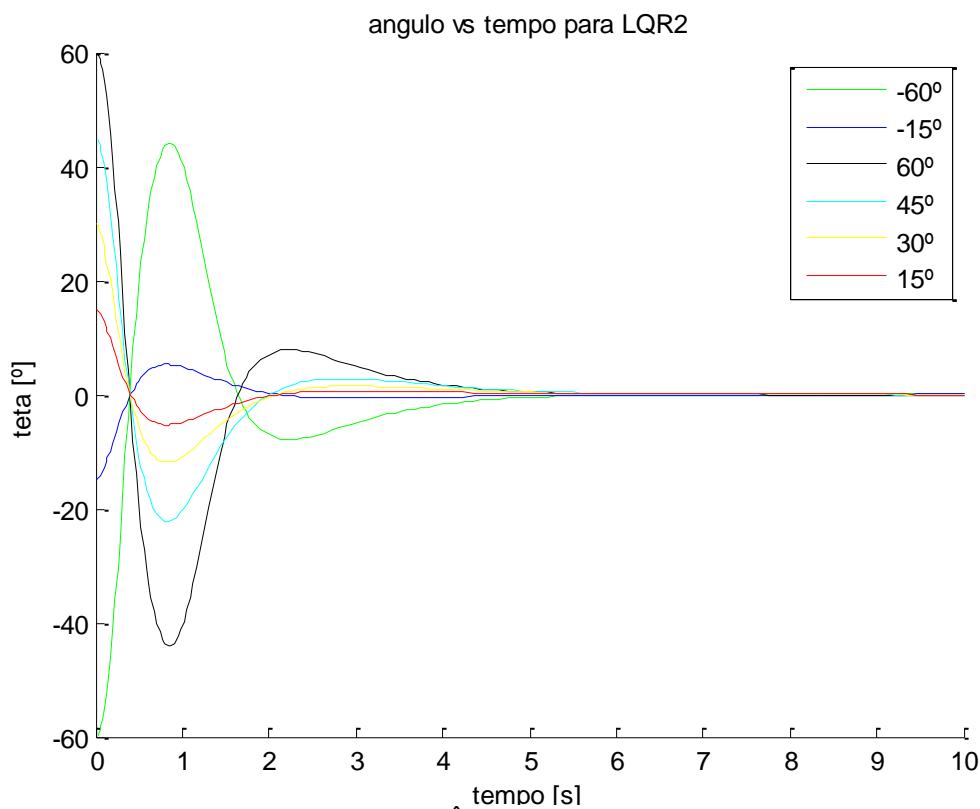


Figura 4- Ângulo vs tempo para LQR2

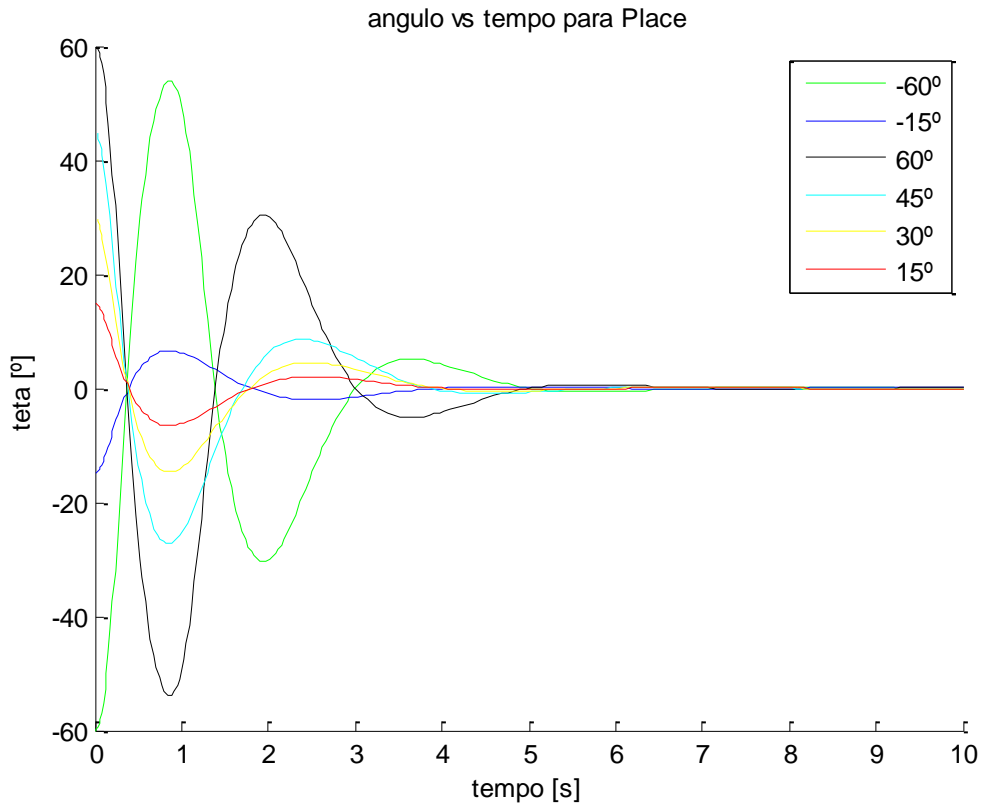


Figura 5- Ângulo vs tempo para Place

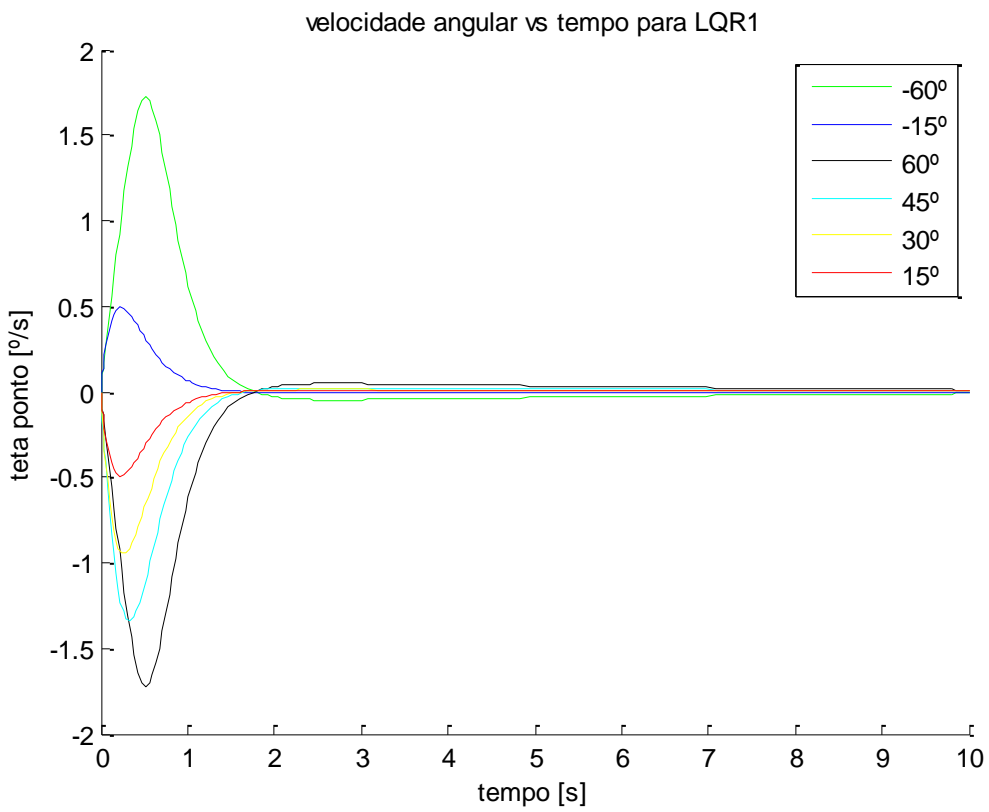
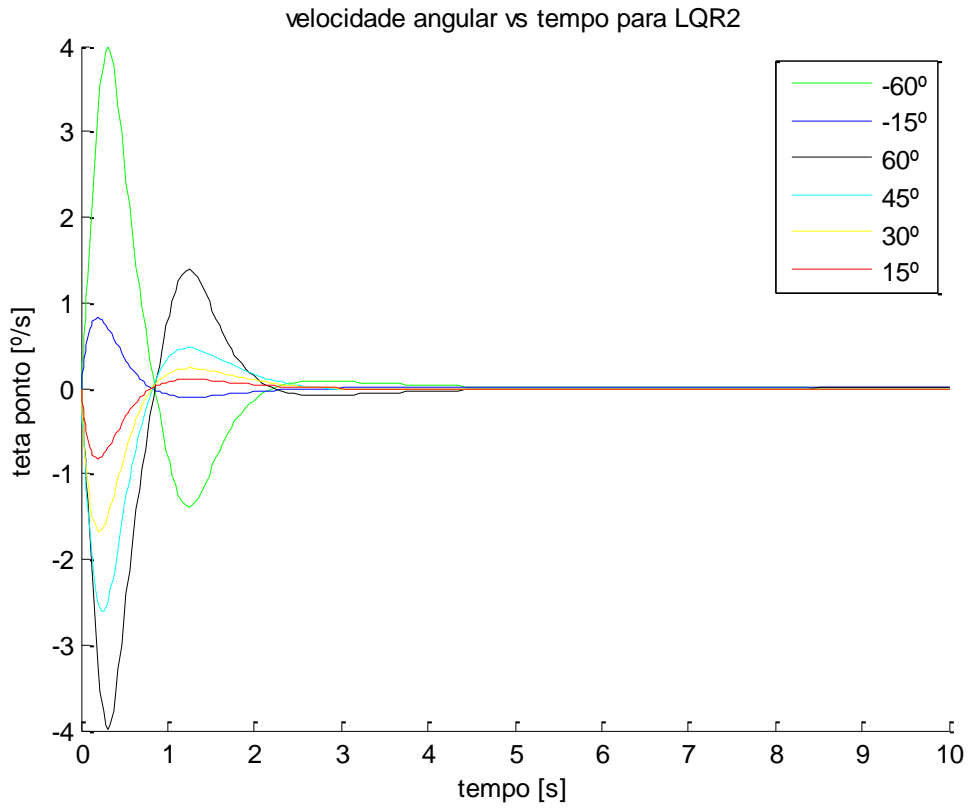
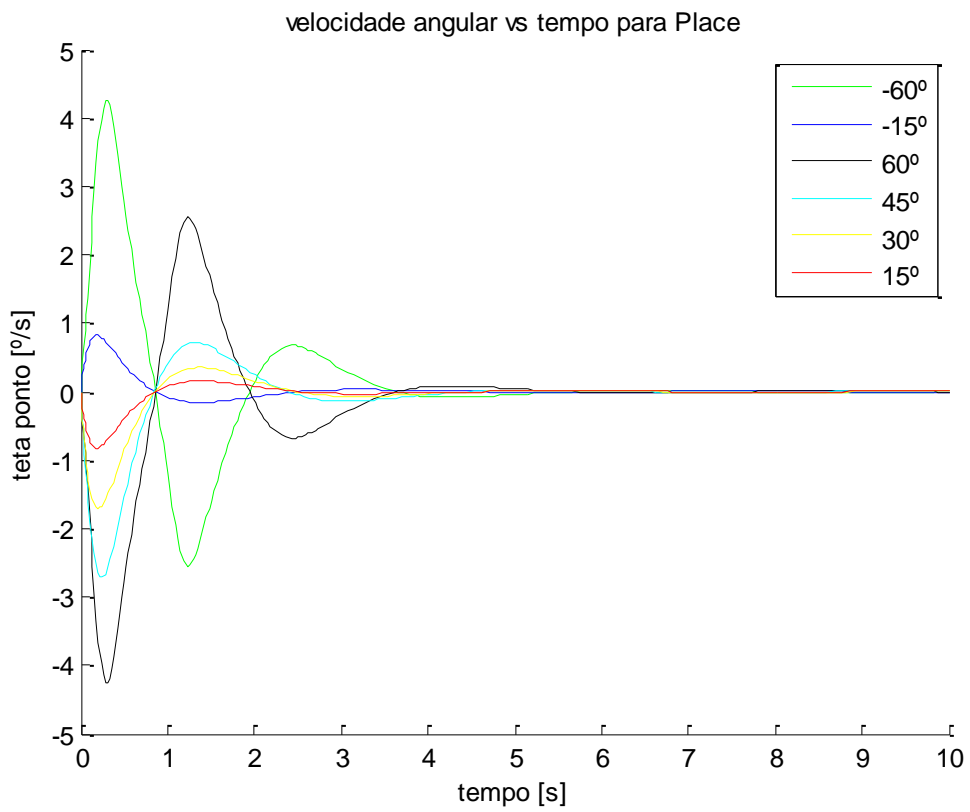


Figura 6- Velocidade Angular vs tempo para LQR1





**Figura 7- Velocidade Angular vs tempo para LQR2**



**Figura 8- Velocidade Angular vs tempo para Place**

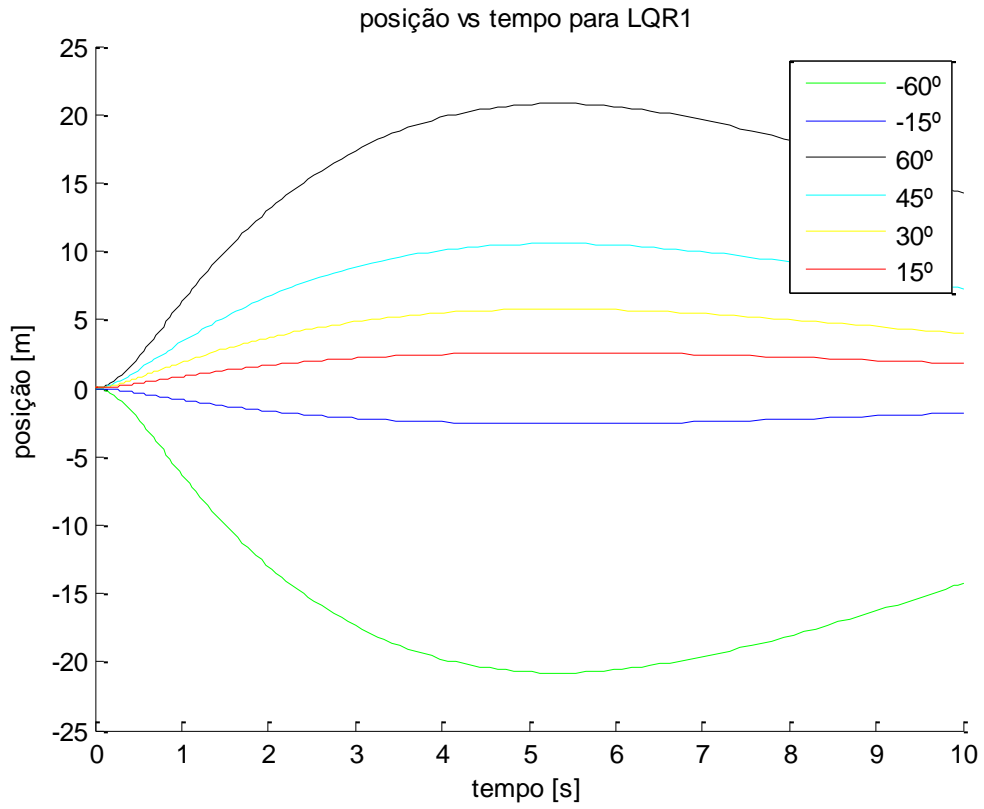


Figura 9- Posição vs tempo para LQR1

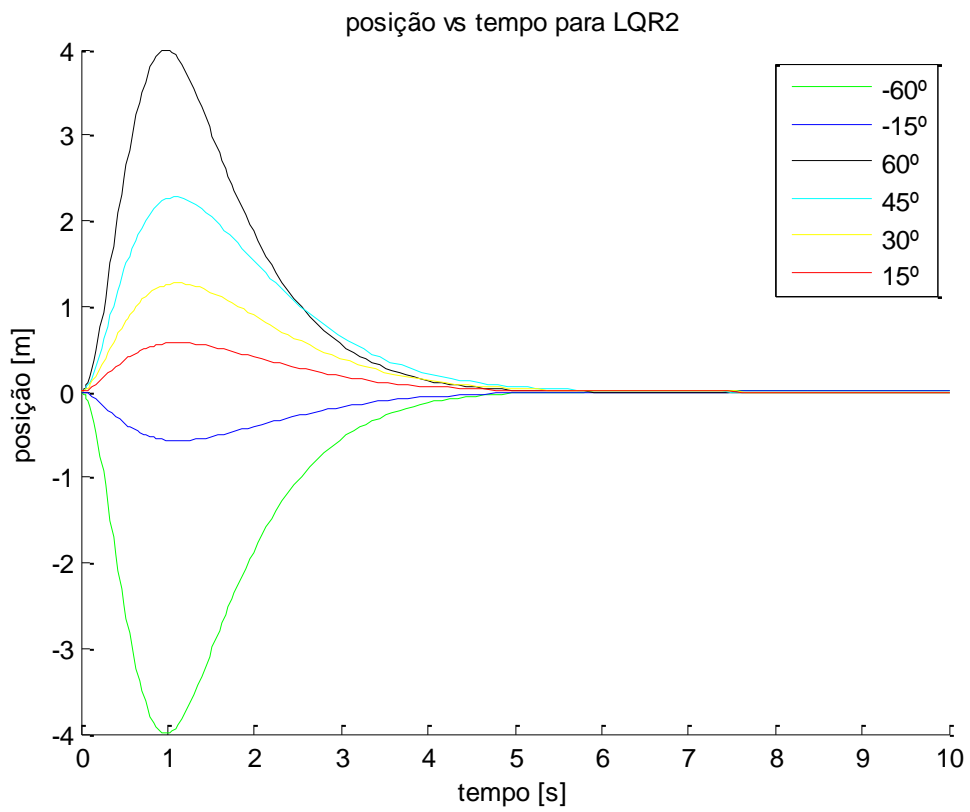


Figura 10- Posição vs tempo para LQR2

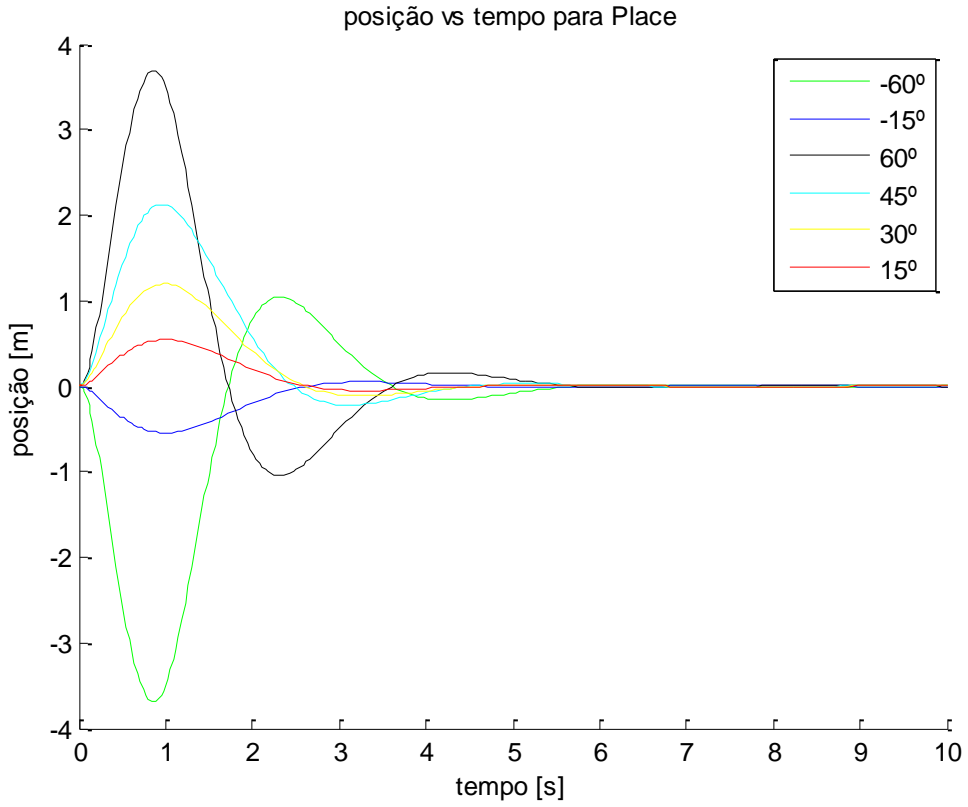


Figura 11 Posição vs tempo para Place

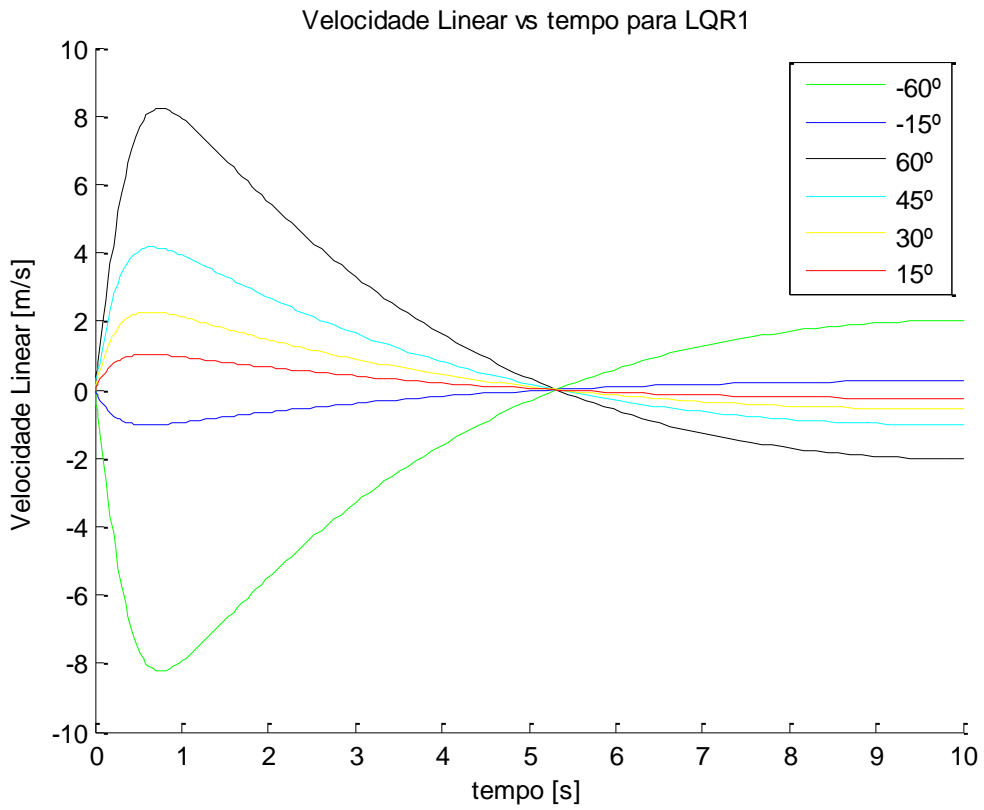
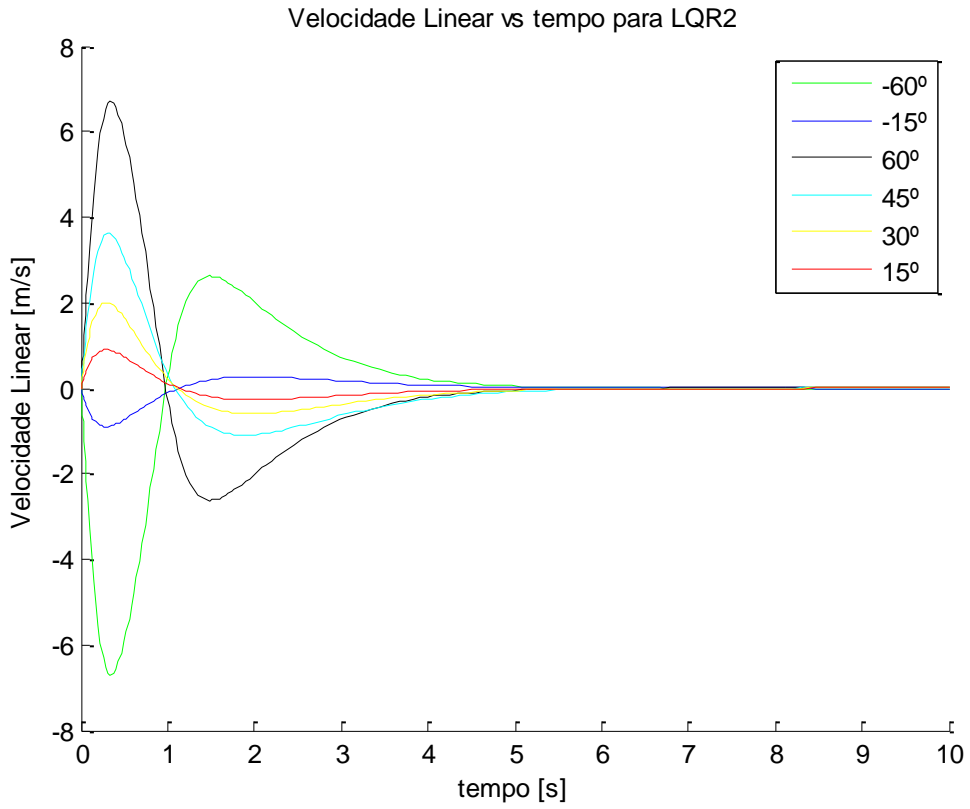
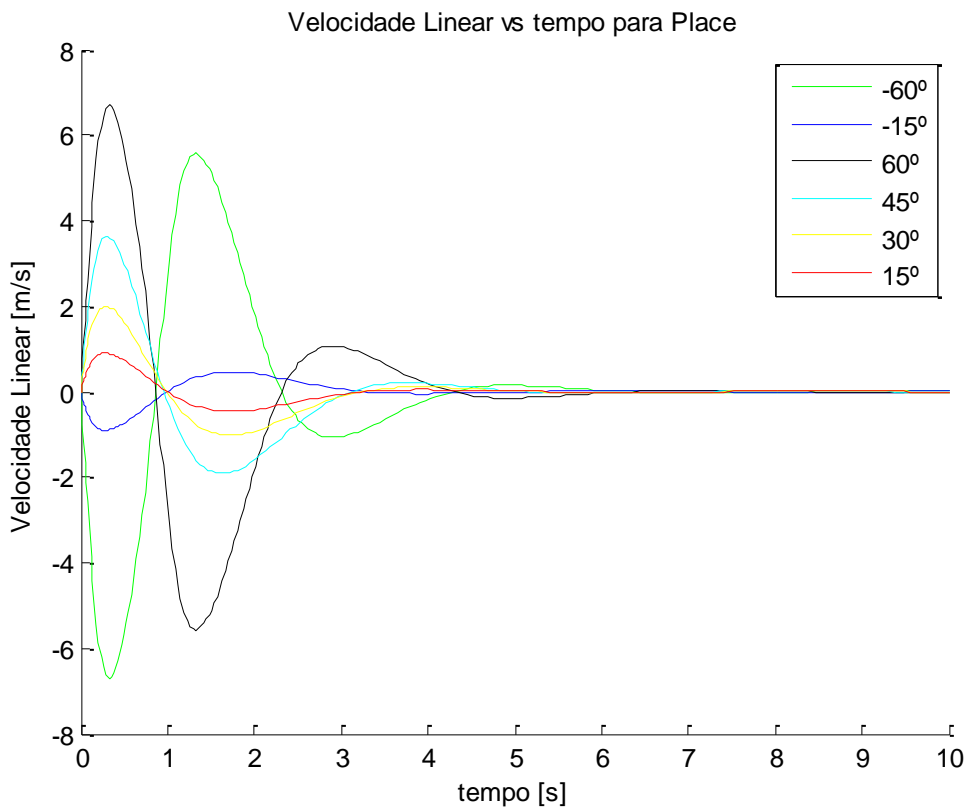


Figura 12- Velocidade Linear vs tempo para LQR1



**Figura 13- Velocidade Linear vs tempo para LQR2**



**Figura 14- Velocidade Linear vs tempo para Place**

Os resultados das Simulações apresentados nas Figuras 3 até 14 verificam que a utilização do LQR1 torna a resposta do sistema muito lenta. Com a escolha dos polos de malha fechada e com a utilização do LQR2, o sistema responde rapidamente e volta para a posição de equilíbrio de maneira eficaz.

Deve-se ressaltar que os princípios físicos de funcionamento do sistema foram mantidos em todas as simulações. Por exemplo, se o ângulo inicial for positivo seria esperado que o carrinho sofresse uma aceleração linear positiva na tentativa de forçar o pêndulo a retornar na posição de repouso. O ângulo iria se tornando cada vez menor e haveria a desaceleração do carrinho, gerando uma velocidade linear negativa sob o ele para compensar a mudança de posição. Porém se a aceleração do carrinho for muito rápida (sistema muito rápido), o pêndulo passaria da posição de equilíbrio e o ângulo ficaria negativo. Para contrabalancear, o carrinho seria acelerado negativamente e o ângulo começaria a ficar mais positivo. O processo ocorreria até que a posição de equilíbrio fosse encontrada. Se observadas as Figuras 3 até 14, verifica-se que realmente as simulações são condizentes com a análise feita.

Com base na análise teórica desenvolvida acima é possível apresentar uma qualidade do controlador baseado no LQR1. Graças à resposta lenta do sistema, durante o transitório, o ângulo não adquire valores muito distantes do ponto de equilíbrio e não há oscilações na posição do carrinho. Já com a escolha dos polos de malha fechada e com a utilização do LQR2, apesar da rapidez da resposta, há oscilações.

# Simulink

Foi criado o sistema não linear com o auxílio do Simulink. Para as simulações, foi utilizado o método numérico *ode23* e foi desabilitada a opção de detecção de cruzamento em zero.

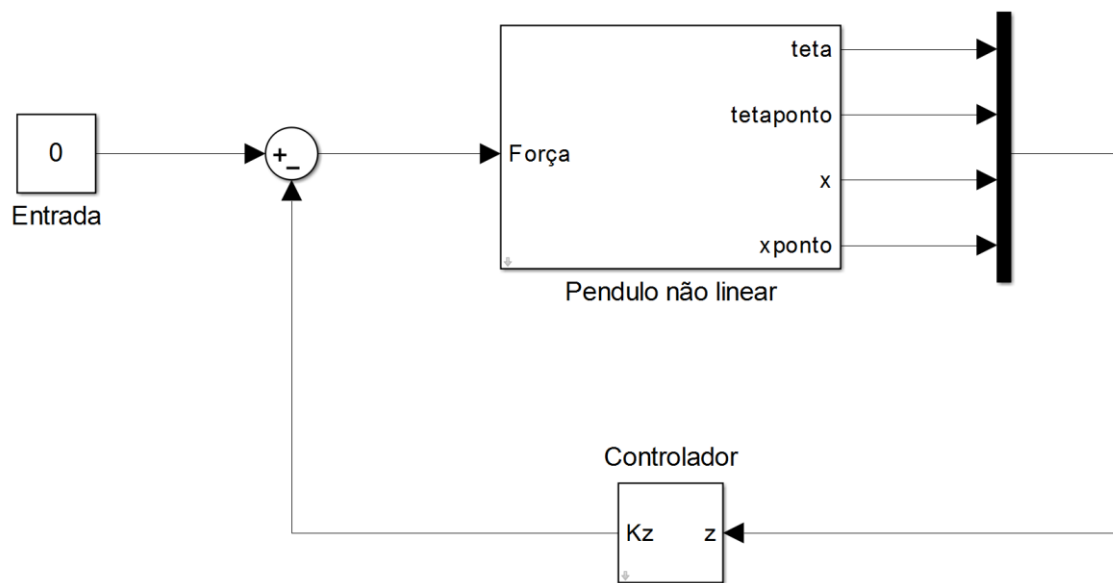


Figura 15- Modelo do Sistema Realimentado

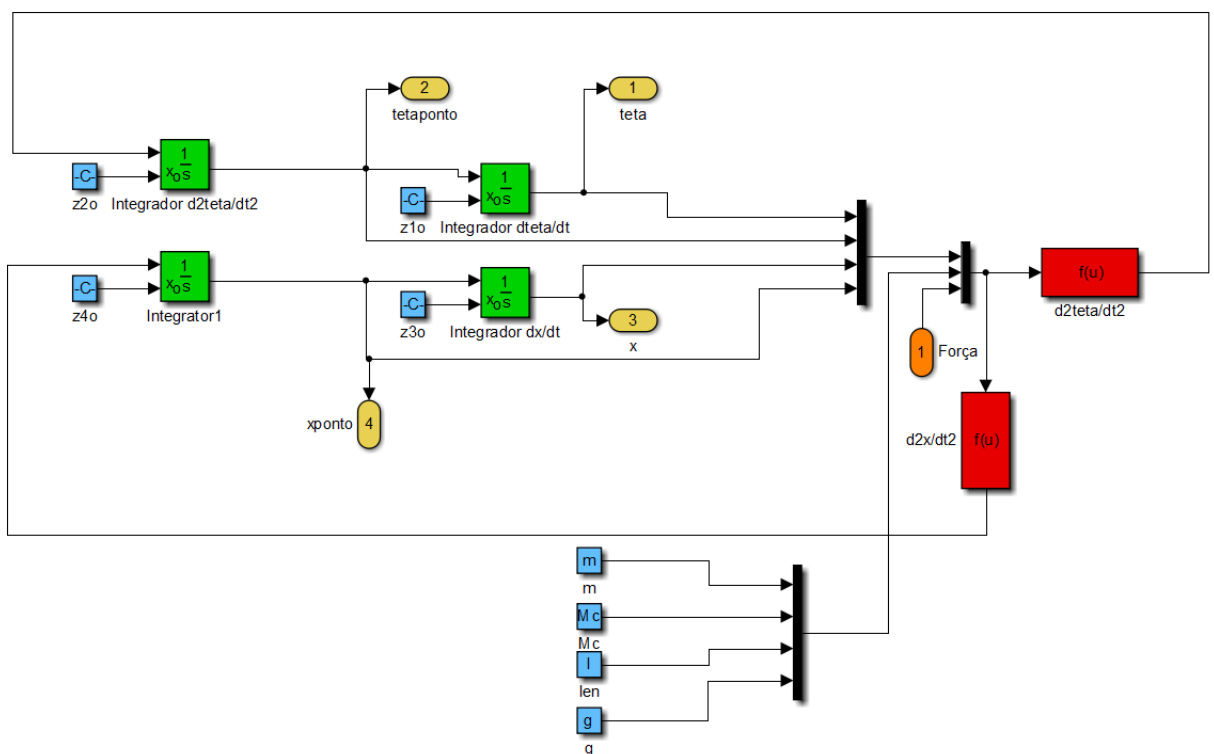


Figura 16- Modelo do Pêndulo Invertido Não Linear

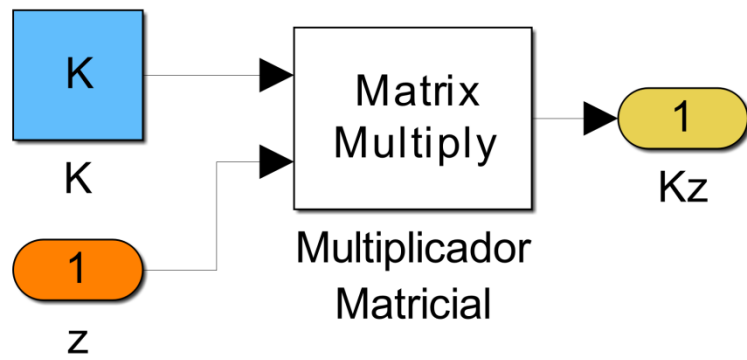


Figura 17- Modelo do Controlador

O resultado das simulações via Simulink ou código de Matlab foram os mesmos. Porém com o Simulink é mais simples de se obter a resposta do controlador. Então, nas Figuras 18,19 e 20 estão apresentadas as respostas do controlador para as mesmas condições iniciais das simulações anteriores.

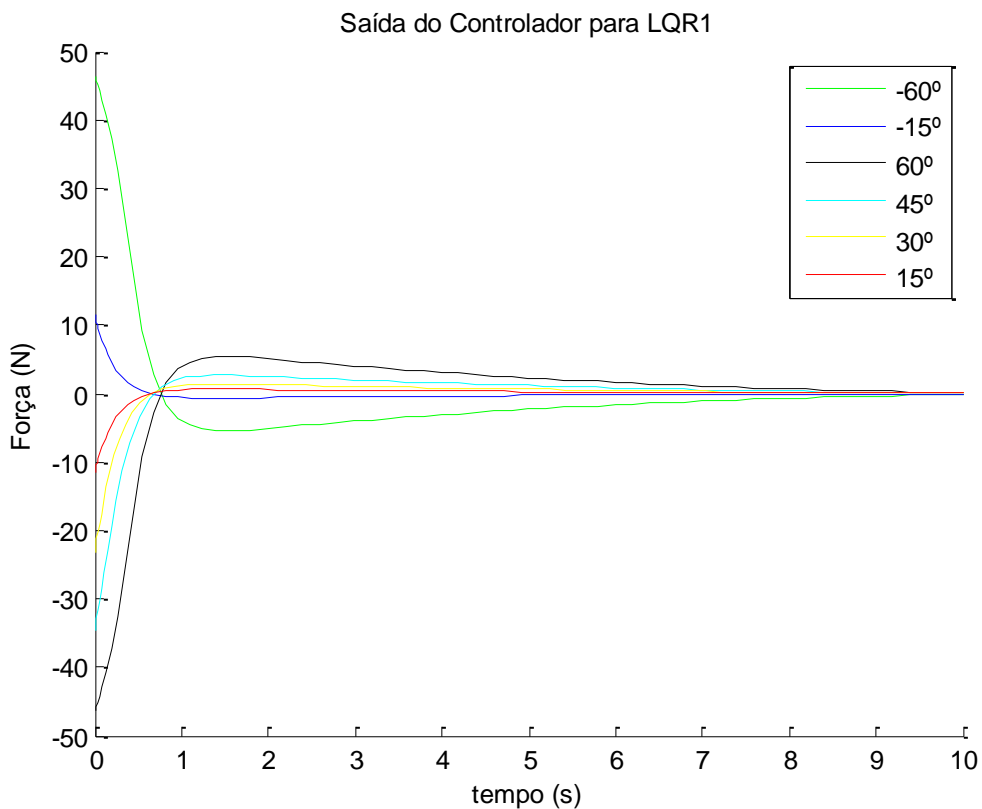
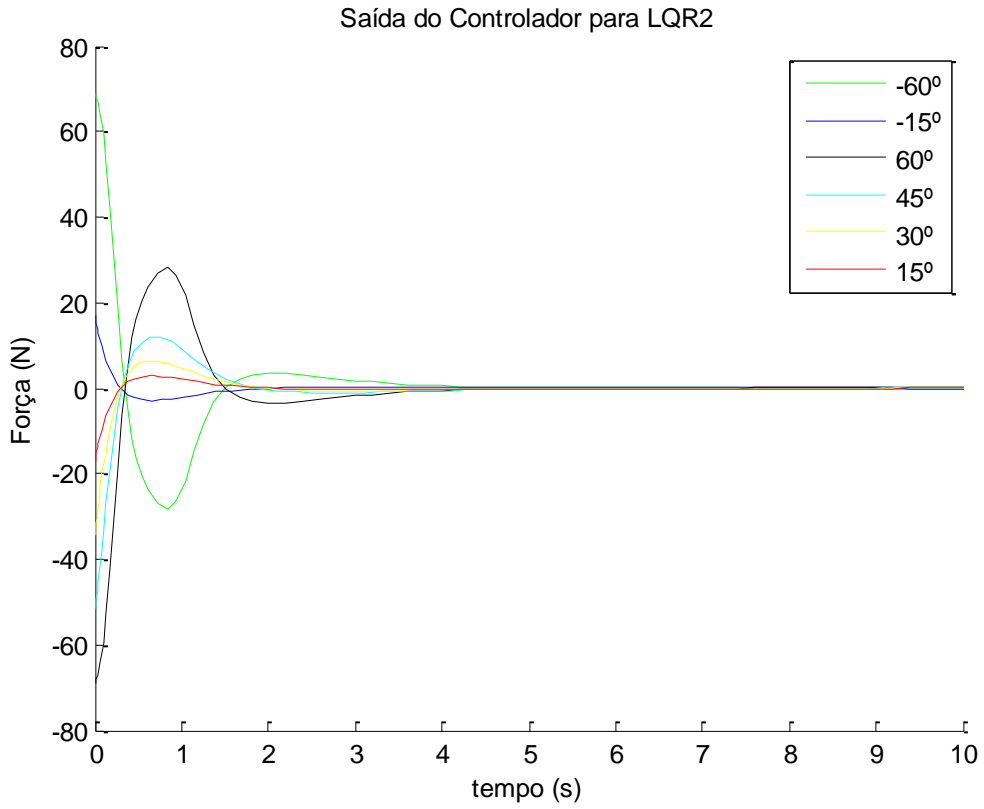
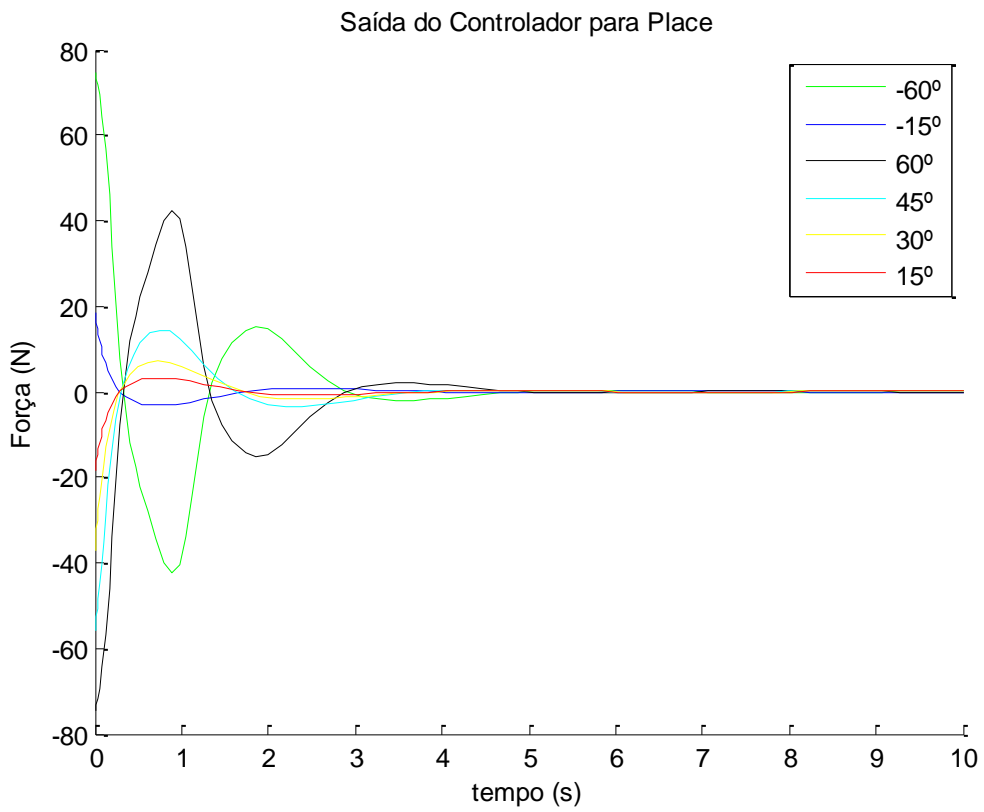


Figura 18- Saída do Controlador para LQR1



**Figura 19- Saída do Controlador para LQR2**



**Figura 20- Saída do Controlador para Place**



# Códigos de Matlab desenvolvidos

## EDO's não lineares com realimentação

```
%função não linear
function zponto = nlinearf(t,z)
    global u M m g len K
    zponto = zeros(size(z));
    u = -K*z;
    c1 = (M+m); c2 = m*len; c3 = m*g; c4 = (M+m)*len; c5 = (M+m)*g;
    zponto(1) = z(2);
    top2 = u*cos(z(1)) - c5*sin(z(1)) + c2*cos(z(1))*sin(z(1))*z(2)^2;
    zponto(2) = top2/(c2*cos(z(1))^2 - c4);
    zponto(3) = z(4);
    top4 = u + c2*sin(z(1))*z(2)^2 - c3*cos(z(1))*sin(z(1));
    zponto(4) = top4/(c1-m*cos(z(1))^2);
```

## EDO's não lineares sem realimentação

```
%função não linear
function zponto = nlinear(t,z)
    global u M m g len
    zponto = zeros(size(z));
    c1 = (M+m); c2 = m*len; c3 = m*g; c4 = (M+m)*len; c5 = (M+m)*g;
    zponto(1) = z(2);
    top2 = u*cos(z(1)) - c5*sin(z(1)) + c2*cos(z(1))*sin(z(1))*z(2)^2;
    zponto(2) = top2/(c2*cos(z(1))^2 - c4);
    zponto(3) = z(4);
    top4 = u + c2*sin(z(1))*z(2)^2 - c3*cos(z(1))*sin(z(1));
    zponto(4) = top4/(c1-m*cos(z(1))^2);
```

## Código para comparar o sistema linear com o não linear

```
clear all, close all, nfig = 0;

%Sistema Linearizado-Sem realimentação
A=[0 1 0 0;20.601 0 0 0; 0 0 0 1;-0.4905 0 0 0];
B=[0;-1;0;0.5];
C=[1 0 0 0;0 0 1 0];
D=0;
Pl=ss(A,B,C,D);
[y1,t1,z1] = step(Pl,linspace(0,1,31));

%Sistema não linear
global u M m g len % Constantes
M = 2.0; m = 0.1; % massas
len = 0.5; % Comprimento do pêndulo
g = 9.81; % aceleração da gravidade
u = 1; % Entrada do sistema
to = 0; tf = 1.0;
zo = [0 0 0 0]'; tol = 1.0e-6;
options = odeset('RelTol',tol);
[tn1,zn1] = ode45('nlinear',[to tf],zo,options);
```

```

nfig = nfig+1; figure(nfig);
plot(tn1,zn1(:,1),'g-',t1,z1(:,1),'go'),grid
title('Pêndulo invertido theta')
xlabel('Tempo (s)'),ylabel('Theta (radianos)')
legend('Não linear','linear')
nfig = nfig+1; figure(nfig);
plot(tn1,zn1(:,3),'r-',t1,z1(:,3),'ro'),grid
title('Pêndulo invertido posição do carrinho')
xlabel('Tempo (s)'),ylabel('Posição (m)')
legend('Não linear','linear')

```

## Código para o sistema realimentado e cálculo das matrizes K's

```

clear all
close all
% Realimentando o sistema
A=[0 1 0 0;20.601 0 0 0; 0 0 0 1;-0.4905 0 0 0];
B=[0;-1;0;0.5];
%LQR
K1=lqr(A,B,[100 0 0 0;0 1 0 0; 0 0 1 0; 0 0 0 1],100);
Alqr=A-B*K1;
K2=lqr(A,B,[0.1 0 0 0;0 1 0 0; 0 0 1 0; 0 0 0 1],0.1);
Alqr2=A-B*K2;
%Place
p=[-10,-2,-1+1.5*j,-1-1.5*j];
K3=place(A,B,p);
Ap1=A-B*K3;
%-----
global u M m g len K % Constantes
M = 2.0; m = 0.1; % massas
len = 0.5; % Comprimento do pêndulo
g = 9.81; % aceleração da gravidade
to = 0; tf = 10.0;
% to1 = 1.0e-6;
% options = odeset('RelTol',to1);
%-----
%Condições iniciais
zo1=[-60*pi/180 0 0 0]';
zo2=[-15*pi/180 0 0 0]';
zo3=[60*pi/180 0 0 0]';
zo4=[45*pi/180 0 0 0]';
zo5=[30*pi/180 0 0 0]';
zo6=[15*pi/180 0 0 0]';
%-----
% LQR 1
K=K1;
[tn1,zn1] = ode45('nlinearf',[to tf],zo1);
[tn12,zn12] = ode45('nlinearf',[to tf],zo2);
[tn13,zn13] = ode45('nlinearf',[to tf],zo3);
[tn14,zn14] = ode45('nlinearf',[to tf],zo4);
[tn15,zn15] = ode45('nlinearf',[to tf],zo5);
[tn16,zn16] = ode45('nlinearf',[to tf],zo6);
figure
hold on
plot(tn1,180/pi*zn1(:,1),'g');

```

```

plot(tn12,180/pi*zn12(:,1), 'b');
plot(tn13,180/pi*zn13(:,1), 'k');
plot(tn14,180/pi*zn14(:,1), 'c');
plot(tn15,180/pi*zn15(:,1), 'y');
plot(tn16,180/pi*zn16(:,1), 'r');
xlabel('tempo [s]')
ylabel('teta [°]')
title('angulo vs tempo para LQR1')
legend('-60°', '-15°', '60°', '45°', '30°', '15°')
figure
hold on
plot(tn11,zn11(:,2), 'g');
plot(tn12,zn12(:,2), 'b');
plot(tn13,zn13(:,2), 'k');
plot(tn14,zn14(:,2), 'c');
plot(tn15,zn15(:,2), 'y');
plot(tn16,zn16(:,2), 'r');
xlabel('tempo [s]')
ylabel('teta ponto [°/s]')
title('velocidade angular vs tempo para LQR1')
legend('-60°', '-15°', '60°', '45°', '30°', '15°')
figure
hold on
plot(tn11,zn11(:,3), 'g');
plot(tn12,zn12(:,3), 'b');
plot(tn13,zn13(:,3), 'k');
plot(tn14,zn14(:,3), 'c');
plot(tn15,zn15(:,3), 'y');
plot(tn16,zn16(:,3), 'r');
xlabel('tempo [s]')
ylabel('posição [m]')
title('posição vs tempo para LQR1')
legend('-60°', '-15°', '60°', '45°', '30°', '15°')
figure
hold on
plot(tn11,zn11(:,4), 'g');
plot(tn12,zn12(:,4), 'b');
plot(tn13,zn13(:,4), 'k');
plot(tn14,zn14(:,4), 'c');
plot(tn15,zn15(:,4), 'y');
plot(tn16,zn16(:,4), 'r');
xlabel('tempo [s]')
ylabel('velocidade Linear [m/s]')
title('Velocidade Linear vs tempo para LQR1')
legend('-60°', '-15°', '60°', '45°', '30°', '15°')
%-----
%-----
% LQR 2
K=K2;
[tn11,zn11] = ode45('nlinearf', [to tf], zo1);
[tn12,zn12] = ode45('nlinearf', [to tf], zo2);
[tn13,zn13] = ode45('nlinearf', [to tf], zo3);
[tn14,zn14] = ode45('nlinearf', [to tf], zo4);
[tn15,zn15] = ode45('nlinearf', [to tf], zo5);
[tn16,zn16] = ode45('nlinearf', [to tf], zo6);
figure
hold on

```

```

plot(tn1,180/pi*zn1(:,1),'g');
plot(tn2,180/pi*zn2(:,1),'b');
plot(tn3,180/pi*zn3(:,1),'k');
plot(tn4,180/pi*zn4(:,1),'c');
plot(tn5,180/pi*zn5(:,1),'y');
plot(tn6,180/pi*zn6(:,1),'r');
xlabel('tempo [s]')
ylabel('teta [°]')
title('angulo vs tempo para LQR2')
legend('-60°','-15°','60°','45°','30°','15°')
figure
hold on
plot(tn1,zn1(:,2),'g');
plot(tn2,zn2(:,2),'b');
plot(tn3,zn3(:,2),'k');
plot(tn4,zn4(:,2),'c');
plot(tn5,zn5(:,2),'y');
plot(tn6,zn6(:,2),'r');
xlabel('tempo [s]')
ylabel('teta ponto [°/s]')
title('velocidade angular vs tempo para LQR2')
legend('-60°','-15°','60°','45°','30°','15°')
figure
hold on
plot(tn1,zn1(:,3),'g');
plot(tn2,zn2(:,3),'b');
plot(tn3,zn3(:,3),'k');
plot(tn4,zn4(:,3),'c');
plot(tn5,zn5(:,3),'y');
plot(tn6,zn6(:,3),'r');
xlabel('tempo [s]')
ylabel('posição [m]')
title('posição vs tempo para LQR2')
legend('-60°','-15°','60°','45°','30°','15°')
figure
hold on
plot(tn1,zn1(:,4),'g');
plot(tn2,zn2(:,4),'b');
plot(tn3,zn3(:,4),'k');
plot(tn4,zn4(:,4),'c');
plot(tn5,zn5(:,4),'y');
plot(tn6,zn6(:,4),'r');
xlabel('tempo [s]')
ylabel('velocidade Linear [m/s]')
title('Velocidade Linear vs tempo para LQR2')
legend('-60°','-15°','60°','45°','30°','15°')
%-----
% Place
K=K3;
[tn1,zn1] = ode45('nlinearf',[to tf],zo1);
[tn2,zn2] = ode45('nlinearf',[to tf],zo2);
[tn3,zn3] = ode45('nlinearf',[to tf],zo3);
[tn4,zn4] = ode45('nlinearf',[to tf],zo4);
[tn5,zn5] = ode45('nlinearf',[to tf],zo5);
[tn6,zn6] = ode45('nlinearf',[to tf],zo6);
figure
hold on

```

```

plot(tn11,180/pi*zn11(:,1), 'g');
plot(tn12,180/pi*zn12(:,1), 'b');
plot(tn13,180/pi*zn13(:,1), 'k');
plot(tn14,180/pi*zn14(:,1), 'c');
plot(tn15,180/pi*zn15(:,1), 'y');
plot(tn16,180/pi*zn16(:,1), 'r');
xlabel('tempo [s]')
ylabel('teta [°]')
title('angulo vs tempo para Place')
legend('-60°', '-15°', '60°', '45°', '30°', '15°')
figure
hold on
plot(tn11,zn11(:,2), 'g');
plot(tn12,zn12(:,2), 'b');
plot(tn13,zn13(:,2), 'k');
plot(tn14,zn14(:,2), 'c');
plot(tn15,zn15(:,2), 'y');
plot(tn16,zn16(:,2), 'r');
xlabel('tempo [s]')
ylabel('teta ponto [°/s]')
title('velocidade angular vs tempo para Place')
legend('-60°', '-15°', '60°', '45°', '30°', '15°')
figure
hold on
plot(tn11,zn11(:,3), 'g');
plot(tn12,zn12(:,3), 'b');
plot(tn13,zn13(:,3), 'k');
plot(tn14,zn14(:,3), 'c');
plot(tn15,zn15(:,3), 'y');
plot(tn16,zn16(:,3), 'r');
xlabel('tempo [s]')
ylabel('posição [m]')
title('posição vs tempo para Place')
legend('-60°', '-15°', '60°', '45°', '30°', '15°')
figure
hold on
plot(tn11,zn11(:,4), 'g');
plot(tn12,zn12(:,4), 'b');
plot(tn13,zn13(:,4), 'k');
plot(tn14,zn14(:,4), 'c');
plot(tn15,zn15(:,4), 'y');
plot(tn16,zn16(:,4), 'r');
xlabel('tempo [s]')
ylabel('velocidade Linear [m/s]')
title('Velocidade Linear vs tempo para Place')
legend('-60°', '-15°', '60°', '45°', '30°', '15°')

```